

การหน้าหนังสือบรรยายและเคลื่อนที่โดยใช้แบบจำลองย่อส่วน

นาย พัทรพงษ์ อasanjintha

วิทยานิพนธ์เป็นส่วนหนึ่งของการศึกษาตามหลักสูตรปริญญาวิศวกรรมศาสตรมหาบัณฑิต^{ศึกษาด้วยวิธีคิดเชิงเชิงค้น}
สาขาวิชาชีวกรรมโยธา ภาควิชาชีวกรรมโยธา
คณะวิศวกรรมศาสตร์ จุฬาลงกรณ์มหาวิทยาลัย
ปีการศึกษา 2546

ISBN 974-17-5142-7

ลิขสิทธิ์ของจุฬาลงกรณ์มหาวิทยาลัย

MOVING TRUCK WEIGHT IDENTIFICATION BY USING A SCALE-DOWN MODEL

Mr. Pattarapong Asnachinda

A Thesis Submitted in Partial Fulfillment of the Requirements
for the Degree of Master of Engineering in Civil Engineering

Department of Civil Engineering

Faculty of Engineering

Chulalongkorn University

Academic Year 2003

ISBN 974-17-5142-7

หัวข้อวิทยานิพนธ์
โดย
สาขาวิชา
อาจารย์ที่ปรึกษา

การนำเสนอหนังสือบรรยายที่ได้รับการอนุมัติให้นำเสนอในวิทยานิพนธ์ฉบับนี้เป็นส่วน
นายพัทธพงษ์ อasanjintha
วิศวกรรมโยธา
รองศาสตราจารย์ ดร. ทศพล ปันแก้ว

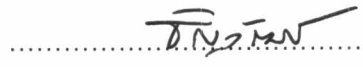
คณะกรรมการค่าตอบแทนที่ได้รับการอนุมัติให้นำเสนอในวิทยานิพนธ์ฉบับนี้เป็นส่วน
หนึ่งของการศึกษาตามหลักสูตรปริญญามหาบัณฑิต


..... คณบดีคณะวิศวกรรมศาสตร์
(ศาสตราจารย์ ดร. ดิเกร ลาวันயศิริ)

คณะกรรมการสอบบัณฑิต


..... ประธานกรรมการ
(ศาสตราจารย์ ดร. ทักษิณ เทพชาตรี)


..... อาจารย์ที่ปรึกษา
(รองศาสตราจารย์ ดร. ทศพล ปันแก้ว)


..... กรรมการ
(ผู้ช่วยศาสตราจารย์ ดร. รัตนวิทย์ พิธิศิริ)

พัทธ์พงษ์ อasanjinada : การหาหนักรถบรรทุกขณะเคลื่อนที่บันสะพานโดยใช้แบบจำลองย่อส่วน.

(MOVING TRUCK WEIGHT IDENTIFICATION BY USING A SCALE-DOWN MODEL)

อ. ที่ปรึกษา : รองศาสตราจารย์ ดร. ทศพล ปั่นแก้ว, 155 หน้า, ISBN 974-17-5142-7

งานวิจัยนี้ได้ทำการหาหนักรถบรรทุกขณะเคลื่อนที่บันสะพานด้วยการทดสอบจากแบบจำลองย่อส่วนสะพานและรถเป็นหลัก โดยใช้สัญญาณความเครียดของสะพานที่หน้าตัดต่าง ๆ มาเป็นข้อมูลในการหาหนักใน การศึกษานี้จะใช้การคำนวนหนักด้วยวิธีเดนามิคโปรแกรมมิ่ง เพราะพบว่ามีความรวดเร็วกวาวิธีซิงค์ลาร์ แอลจูดีคอมโพชั่น นอกจากนั้นจะประยุกต์ใช้เทคนิคการคำนวนซ้ำเพื่อเพิ่มความถูกต้องของน้ำหนักที่คำนวนได้

การทดสอบได้ทำการศึกษาผลกระบวนการปัจจัยต่าง ๆ ที่เกี่ยวข้องได้แก่ มวลและความเร็วของรถบรรทุก, ระดับความชุกระหว่างพื้นผิวสะพาน, ตำแหน่งการเคลื่อนที่ของรถตามแนววางของสะพาน, ประเททฐานรองรับของสะพานได้แก่ฐานรองรับแบบธรรมดากลางและแบบสะพานต่อเนื่อง และผลของจำนวนเพลาของรถบรรทุก รวมทั้ง จะทำการเก็บวัดแรงทางพลศาสตร์ที่เกิดขึ้นจริงในเพลารถเพื่อศึกษาถึงคุณลักษณะต่าง ๆ ของแรงที่เกิดขึ้น

การย่อส่วนแบบจำลองจะให้มีค่าความเครียดของแบบจำลองสะพานใกล้เคียงกับในสะพานจริงแบบจำลองย่อส่วนสะพานทำจากแผ่นเหล็กมีขนาดกว้าง ความยาว และความหนาเท่ากับ 50 ซม. 200 ซม. และ 1 ซม. ตามลำดับ โดยพิจารณาฐานรูปแบบจุดรองรับของสะพาน 2 ประเททด้วยกันได้แก่สะพานแบบช่วงเดียวที่มีจุดรองรับแบบธรรมดากลางและสะพานแบบต่อเนื่อง ส่วนแบบจำลองย่อส่วนรถบรรทุกมีความกว้างระหว่างล้อ 20 ซม. และมีระยะห่างระหว่างเพลา 28 ซม. สำหรับรถบรรทุกแบบ 2 เพลา และมีระยะห่างระหว่างเพลาน้ำหนักถึงเพลากลางและถึงเพลากลางเท่ากับ 24 ซม. และ 31.5 ซม. ตามลำดับสำหรับรถบรรทุกแบบ 3 เพลา โดยจะทำการเพิ่มและลดน้ำหนักรถในช่วง 10 กก. ถึง 30 กก. ส่วนความชุกระหว่างพื้นผิวสะพานจะทำการจำลอง 3 ระดับด้วยกัน

จากการทดสอบทั้งหมด 540 การทดสอบพบว่า การนำค่าความเครียดในหน้าตัดสะพานเดียวกันมาทำการเฉลี่ยและนำไป套ยน้ำหนักจะสามารถลดผลของการบิดตัวของสะพานซึ่งเกิดจากตำแหน่งของรถตามแนววางได้ดี และรถบรรทุกที่มีน้ำหนักมากและเคลื่อนที่ด้วยความเร็วต่ำจะให้ผลการทายน้ำหนักที่มีแนวโน้มที่ดีกว่ารถบรรทุกที่มีน้ำหนักเบาและเคลื่อนที่ด้วยความเร็วสูง โดยมีความคลาดเคลื่อนที่สูงขึ้นตามระดับของความชุกระหว่างพื้นผิวสะพาน รูปแบบของฐานรองรับของสะพานนั้นมีผลต่อการทายน้ำหนักอย่างมีนัยสำคัญ โดยสะพานแบบช่วงเดียวที่มีจุดรองรับแบบธรรมดากลางให้ผลการทายน้ำหนักที่ดีกว่าสะพานแบบต่อเนื่อง ทั้งนี้พบว่ากรณีรถบรรทุกแบบ 2 เพลาเคลื่อนที่บนสะพานช่วงเดียวที่พื้นผิวไม่มีความชุกระนันให้ผลการทายน้ำหนักรวมที่มีความคลาดเคลื่อนอยู่ในช่วง $\pm 5\%$ ส่วนผลการทดสอบกรณีรูปแบบสะพานเป็นแบบต่อเนื่องและกรณีที่รถบรรทุกมีจำนวนเพลาเพิ่มขึ้น พบว่ามีค่าความคลาดเคลื่อนของน้ำหนักรวมสูงสุด $\pm 20\%$

ภาควิชา วิศวกรรมโยธา

สาขาวิชา วิศวกรรมโยธา

ปีการศึกษา 2546

ลายมือชื่อนิสิต
๗๖๗๙๘

ลายมือชื่ออาจารย์ที่ปรึกษา
๒

4570443421 : MAJOR CIVIL ENGINEERING

KEY WORD: TRUCK WEIGHT / WEIGHT IDENTIFICATION / MODEL

MR. PATTARAPONG ASNACHINDA : MOVING TRUCK WEIGHT IDENTIFICATION BY USING A SCALE-DOWN MODEL. THESIS ADVISOR : ASSOCIATE PROFESSOR DR. TOSPOL PINKAEW, 155 pp, ISBN 974-17-5142-7

This research is conducted on the truck weight identification while moving on the bridge by testing on a scale-down model. The strain signals from various bridge sections are used as input data. The study employed the Dynamic Programming method to identify the truck weight since, it is found that, this method provides faster speed of computation comparing with the Singular Value Decomposition method. Moreover, the iteration technique is adapted to improve the identification accuracy.

The test investigated effects of the various factors including mass and velocity of truck, roughness of bridge surface, transverse position of truck, type of bridge supports e.g. simple support and continuous bridges, and number of truck axles. Moreover, the dynamic axle loads of the truck model are measured in order to study their characteristics.

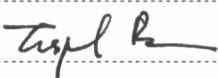
The scale-down model is simulated by making the strains obtained from bridge model close to that from the real bridge. The bridge is modeled by a rectangular steel plate having width, length and thickness of 50 cm, 200cm and 1 cm, respectively. Two types of bridge support conditions consisting of one-span bridge with simple supports and continuous bridge are considered. The truck model has 20 cm wheel spacing and 28 cm axle spacing for two-axle truck model while three-axle truck model has the distance from front axle to middle axle and to rear axle equal to 24 cm and 31.5 cm, respectively. The truck weight is varied from 10 Kg to 30 Kg. Three levels of bridge roughness are simulated.

From 540 cases of experiment, it is found that using the strain obtained from averaging strains in same section can significantly reduce the torsional effect of bridge due to transverse position of the truck. The truck having heavier mass and moving with lower speed tends to yield better weight identification results. The identification error increases as the roughness level increases. The effect of support conditions is significant. It is found that the one-span bridge with simple supports yields better weight identification results than those from the continuous bridge. It is also found that, the weight error of about $\pm 5\%$ is achieved when the two-axle truck moving on the one-span simple support bridge with smooth surface. However this error becomes as high as $\pm 20\%$ for the continuous bridge and for the three-axle truck.

Department..... CIVIL ENGINEERING

Student's signature 

Concentration..... CIVIL ENGINEERING

Advisor's signature 

Academic year..... 2003

กิตติกรรมประกาศ

วิทยานิพนธ์ฉบับนี้สำเร็จลุล่วงไปได้ด้วยความช่วยเหลือสนับสนุนอย่างเดียวจากท่านเหล่านี้ ได้แก่ รองศาสตราจารย์ ดร. ทศพล ปันแก้ว อาจารย์ที่ปรึกษาที่ได้ให้คำปรึกษาและแนะนำการจัดทำวิทยานิพนธ์นี้ให้มีความสมบูรณ์มากที่สุด ศาสตราจารย์ ดร. ทักษิน เทพชาตรี ที่ได้ให้ความกรุณารับเป็นประธานของคณะกรรมการสอบวิทยานิพนธ์ รวมทั้งได้ให้ความกรุณาตรวจแก้และให้คำปรึกษาในการทำวิทยานิพนธ์นี้ ผู้ช่วยศาสตราจารย์ ดร. ธัญวัฒน์ พโรศิริ ที่ได้ให้ความกรุณารับเป็นกรรมการสอบวิทยานิพนธ์ รวมทั้งได้ให้ความกรุณาตรวจแก้และให้คำปรึกษาในการทำวิทยานิพนธ์นี้ ดร. เฉลิมพล โลหะรัตนเสน่ห์ ที่ได้สนับสนุนเครื่องมือในการทำการทดลอง รวมทั้งยังได้ให้ความกรุณาในการซ้อมแฟ้มเครื่องมือต่างๆ และให้คำแนะนำในการแก้ไขปัญหาต่างๆได้เป็นอย่างดี

นอกจากบุคคลท่านต่างๆ ที่ได้กล่าวมาแล้วข้างต้น ยังได้รับความช่วยเหลือจากหน่วยงาน บัณฑิตวิทยาลัย จุฬาลงกรณ์มหาวิทยาลัย ที่ได้ให้เงินทุนสนับสนุนในการศึกษาวิจัย

ท้ายที่สุดนี้ ผู้วิจัยขอกราบขอบพระคุณ บิดา-มารดา พี่น้อง และ เพื่อนๆ ที่ได้ให้การสนับสนุนในทุกๆ ด้าน รวมทั้งได้ให้กำลังใจแก่ผู้วิจัยในการศึกษาเป็นอย่างดี

สารบัญ

บทคัดย่อภาษาไทย	๑
บทคัดย่อภาษาอังกฤษ	๑
กิตติกรรมประกาศ	๖
สารนัย	๊
สารบัญตาราง	ภ
สารบัญภาพ	ร

บทที่

1 บทนำ	๑
1.1 ความเป็นมา	๑
1.2 งานวิจัยที่ผ่านมา	๒
1.3 วัตถุประสงค์	๘
1.4 ขอบเขตการวิจัย	๘
1.5 ประโยชน์ที่ได้รับ	๘
1.6 การดำเนินงานวิจัย	๘
2 หลักการและทฤษฎีที่เกี่ยวข้อง	๑๐
2.1 การสั่นไหวของสะพานภายใต้แรงกระทำแบบเคลื่อนที่	๑๐
2.1.1 การจำลองสะพานด้วยชิ้นส่วนคน	๑๑
2.1.2 การหาเมตริกซ์ความหน่วง (damping matrix) ของระบบ	๑๔
2.1.3 การหาแรงที่ขึ้นจากแรงภายนอกที่มากจะทำ	๑๕
2.1.4 การสร้างสมการการเคลื่อนที่	๑๖
2.1.5 วิธีการหาเมตริกซ์ F	๑๘
2.2 การวัดความเครียด	๑๘
2.3 การหาแรงขณะเคลื่อนที่จากผลการสั่นไหวของสะพาน	๑๙
2.3.1 หลักการทั่วไป	๒๐
2.3.2 การหาแรงโดยตรงจากการแก้ระบบสมการ	๒๐
2.3.3.1 การแก้สมการโดยการใช้ชูโดอินเวอร์สมเมตริกซ์ (pseudo-inverse matrix, PI)	๒๓
2.3.3.1 การแก้สมการด้วยวิธีซิงคูลาร์แอลดิคอมโพซิชัน	
(Singular Value Decomposition, SVD)	๒๓
2.3.3 การหาน้ำหนักด้วยการใช้เรקורסีฟฟอร์มูลา (recursive formula)	๒๖
2.3.3.1 ไนมิกโปรแกรมมิ่ง (Dynamic Programming)	๒๗
2.3.3.2 ขั้นตอนการคำนวน	๒๙
2.4 การเพิ่มความถูกต้องในการหาแรงด้วยเทคนิคการคำนวนข้าม	๒๙

สารบัญ (ต่อ)

๗

บทที่		หน้า
2.5 การปรับปรุงการหาหน้าหนักจากผลของสภาพเงื่อนไขบริเวณจุดรองรับของแบบจำลองสะพาน	31	
2.5.1 แบบจำลองของสะพานแบบช่วงเดียว	32	
2.5.2 แบบจำลองของสะพานแบบหลายช่วง	32	
2.5.3 สติฟเนสเมตริกซ์ของแบบจำลองสะพานที่ทำการปรับแก้สภาพจุดรองรับ	33	
3 การเปรียบเทียบและวิเคราะห์ประสิทธิภาพเบื้องต้นของวิธีการหาหน้าหนัก	36	
3.1 ตัวอย่างการทดสอบเบื้องต้น	36	
3.2 ผลการหาหน้าหนักกรณีที่ไม่สามารถหาหน้าหนักได้โดยใช้แบบจำลองย่อส่วน	37	
3.2.1 การหาหน้าหนักกรณีที่ไม่สามารถหาหน้าหนักได้โดยใช้แบบจำลองสมการด้วยการใช้ชี้โคอินเวอร์สเมตริกซ์ (Pseudo-Inverse Matrix)	37	
3.2.2 การหาหน้าหนักกรณีที่ไม่สามารถหาหน้าหนักได้โดยใช้ชิงคูลาร์แอลกูดิคอมโพธิชัน (Singular Value Decomposition)	38	
3.2.3 การหาหน้าหนักกรณีที่ไม่สามารถหาหน้าหนักได้โดยใช้เทคนิคโปรแกรมมิ่ง	40	
3.3 ปัจจัยที่มีผลกระทบต่อค่า λ ที่เหมาะสม	42	
3.3.1 อิทธิพลของมวลของรถบรรทุก	43	
3.3.2 อิทธิพลของความเร็วของรถบรรทุก	44	
3.3.4 ผลการหาหน้าหนักด้วยเทคนิคการคำนวณข้าม	46	
4 การออกแบบและติดตั้งแบบจำลองย่อส่วน	50	
4.1 แบบจำลองย่อส่วนสะพาน	50	
4.2 แบบจำลองย่อส่วนของรถบรรทุก	55	
4.3 ตำแหน่งและขั้นตอนการติดตั้งเกจวัดความเครียด	58	
4.3.1 ขั้นตอนการติดตั้งเกจวัดความเครียด	58	
4.3.2 ตำแหน่งที่ติดตั้งเกจวัดความเครียด	58	
4.4 อุปกรณ์ที่ใช้ในการทดสอบ	60	
4.4.1 อุปกรณ์ที่ใช้ในการเก็บสัญญาณ	60	
4.4.2 ตัวเซนเซอร์ที่ใช้สำหรับตำแหน่งของรถ	60	
4.5 รูปแบบการทดสอบการหาหน้าหนัก	63	
4.5.1 การศึกษาผลของตำแหน่งการวิ่งของรถในช่องจราจร	63	
4.5.2 การศึกษาผลของความชุ่มชื้นของพื้นผิวสะพานที่มีต่อการหาหน้าหนัก	63	
4.5.3 การทดสอบผลการหาหน้าหนักกรณีที่ไม่สามารถหาหน้าหนักได้โดยใช้แบบจำลอง	65	
4.5.4 การศึกษาการหาหน้าหนักกรณีที่มีจำนวนเพลา 3 เพลา	66	
4.6 หลักการวิเคราะห์ระบบการเคลื่อนที่ของรถบรรทุก	66	
4.6.1 กรณีรถบรรทุกแบบ 2 เพลาเคลื่อนที่บนสะพานช่วงเดียวที่มีจุดรองรับแบบธรรมดากลาง	66	
4.6.2 กรณีรถบรรทุกแบบ 2 เพลาเคลื่อนที่บนสะพานต่อเนื่อง	68	

สารบัญ (ต่อ)

๗

บทที่		หน้า
	4.6.3 กรณีรถบรรทุกแบบ 3 เพลาเคลื่อนที่บนสะพานช่วงเดียวที่มีจุดรองรับแบบธรรมดា	69
5 การปรับเทียบแบบจำลองย่อส่วน		72
5.1 การปรับเทียบแบบจำลองรถบรรทุก		72
5.2 การปรับเทียบแบบจำลองสะพาน		74
5.2.1 การปรับเทียบแบบจำลองสะพานช่วงเดียว		74
5.2.2 การปรับเทียบแบบจำลองสะพานต่อเนื่อง		80
5.3 การหาคุณสมบัติพื้นฐานของสะพาน		82
5.4 ระเบียบวิธีการเก็บวัดข้อมูล		83
6 ผลการทดสอบและการวิเคราะห์ความถูกต้องของภาระน้ำหนัก		86
6.1 การหาระนา้นน้ำหนักรถบรรทุกซึ่งเคลื่อนที่บนสะพานช่วงเดียวที่มีจุดรองรับแบบธรรมดា		86
6.1.1 การหาระนา้นน้ำหนักรถบรรทุกกรณีทดสอบพื้นฐาน		86
6.1.2 อิทธิพลของมวลของรถบรรทุกที่มีต่อประสิทธิภาพในการทายน้ำหนัก		88
6.1.3 อิทธิพลของความเร็วของรถบรรทุกที่มีต่อประสิทธิภาพในการทายน้ำหนัก		90
6.1.4 ผลการทดสอบการหาระนา้นน้ำหนักรถบรรทุก ซึ่งมีตำแหน่งเคลื่อนที่ตามแนววางไข่ของจราจรที่แตกต่างกัน		92
6.1.5 อิทธิพลของความชุนของพื้นผิวสะพานที่มีต่อประสิทธิภาพในการทายน้ำหนัก		99
6.1.6 พฤติกรรมของน้ำหนักทางพลศาสตร์ของรถบรรทุกและค่าความคลาดเคลื่อนของการทดสอบ		100
6.2 การหาระนา้นน้ำหนักรถบรรทุกซึ่งเคลื่อนที่บนสะพานต่อเนื่อง		111
6.2.1 อิทธิพลของค่าเริ่มต้นของผลตอบสนองของสะพานที่มีต่อประสิทธิภาพในการทายน้ำหนัก		111
6.2.2 อิทธิพลของค่าปรับเทียบของแบบจำลองสะพานต่อเนื่องที่มีต่อประสิทธิภาพในการทายน้ำหนัก		113
6.3 อิทธิพลของการระบุตำแหน่งของรถบรรทุกที่มีต่อในการทายน้ำหนัก		122
6.4 การหาระนา้นน้ำหนักรถบรรทุกแบบ 3 เพลา		125
6.4.1 การหาระนา้นน้ำหนักรถบรรทุกแบบ 3 เพลาโดยการแก้ปัญหาแบบ 3 ตัวแปร		125
6.4.2 การหาระนา้นน้ำหนักรถบรรทุกแบบ 3 เพลาโดยการแก้ปัญหาแบบ 2 ตัวแปร		131
6.5 ระดับความคลาดเคลื่อนของผลการทดสอบ		133
6.5.1 กรณีรถบรรทุกแบบ 2 เพลาเคลื่อนที่บนสะพานช่วงเดียว		133
6.5.2 กรณีรถบรรทุกแบบ 2 เพลาเคลื่อนที่บนสะพานต่อเนื่อง		137
6.5.3 กรณีรถบรรทุกแบบ 3 เพลาเคลื่อนที่บนสะพานช่วงเดียว		140
7 บทสรุป		144
7.1 การหาระนา้นน้ำหนักรถบรรทุกแบบ 2 เพลาเคลื่อนที่บนสะพานช่วงเดียวที่มีจุดรองรับแบบธรรมดा		144

สารบัญ (ต่อ)

ญ

บทที่	หน้า
7.2 การนำเสนอหนังกรอบบรรทุกแบบ 2 เพลาเคลื่อนที่บนสะพานต่อเนื่อง.....	145
7.3 การนำเสนอหนังกรอบบรรทุกแบบ 3 เพลาเคลื่อนที่บนสะพานช่วงเดียวที่มีจุดรองรับแบบครอมดา.....	145
7.4 ข้อเสนอแนะ	146
7.4.1 ข้อเสนอแนะในการประยุกต์ใช้จริง	146
7.4.2 ข้อเสนอแนะในการศึกษาวิจัยเพิ่มเติม	146
รายการอ้างอิง	147
ภาคผนวก	149
ภาคผนวก ก. การปรับเทียบแบบจำลองรถบรรทุก	150
ภาคผนวก ข. ผลการทดสอบโดยละเอียด	154
ประวัติผู้เขียนวิทยานิพนธ์	155

สารบัญตาราง

	หน้า
ตารางที่ 4.1 ผลการทดสอบหาค่าความเครียดที่ตำแหน่งการวัดต่าง ๆ เมื่อทำการปรับระยะของจุดรองรับช่วงในที่แตกต่างกัน (กรณีสะพานจำลองไม่มีการยึดรั้งที่ปลาย)	53
ตารางที่ 4.2 ผลการทดสอบหาค่าความเครียดที่ตำแหน่งการวัดต่าง ๆ เมื่อทำการปรับระยะของจุดรองรับช่วงในที่แตกต่างกัน (กรณีสะพานจำลองมีการยึดรั้งที่ปลาย)	53
ตารางที่ 5.1 ค่าปรับเทียบของแบบจำลองสะพานต่อเนื่อง	80
ตารางที่ 6.1 ผลการทดสอบการหาค่าน้ำหนัก grubov รวมถึงค่าความคลาดเคลื่อนทางสถิติ กรณีเคลื่อนที่ณ ตำแหน่งกึ่งกลางสะพาน และพื้นผิวสะพานไม่มีความชุขระ	89
ตารางที่ 6.2 ผลการทดสอบการหาค่าน้ำหนัก grubov รวมถึงค่าความคลาดเคลื่อนทางสถิติ กรณีเคลื่อนที่ณ ช่องจราจรด้านข้างของสะพาน และพื้นผิวสะพานไม่มีความชุขระ	97
ตารางที่ 6.3 ผลการทดสอบการหาค่าน้ำหนัก grubov รวมถึงค่าความคลาดเคลื่อนทางสถิติ กรณีเคลื่อนที่ณ ช่องจราจรด้านขวาของสะพาน และพื้นผิวสะพานไม่มีความชุขระ	98
ตารางที่ 6.4 ผลการทดสอบการหาค่าน้ำหนัก grubov รวมถึงค่าความคลาดเคลื่อนทางสถิติ กรณีเคลื่อนที่ณ ตำแหน่งกึ่งกลางสะพาน และสะพานมีความชุขระเล็กน้อย	101
ตารางที่ 6.5 ผลการทดสอบการหาค่าน้ำหนัก grubov รวมถึงค่าความคลาดเคลื่อนทางสถิติ กรณีเคลื่อนที่ณ ตำแหน่งกึ่งกลางสะพาน และสะพานมีความชุขระปานกลาง	102
ตารางที่ 6.6 ผลการทดสอบการหาค่าน้ำหนัก grubov รวมถึงค่าความคลาดเคลื่อนทางสถิติ กรณีเคลื่อนที่ณ ตำแหน่งกึ่งกลางสะพาน และสะพานมีความชุขระมาก	103
ตารางที่ 6.7 ค่า Impact Factor ของน้ำหนัก grubov ที่เก็บวัดได้และที่ทำการหายได้ กรณีเคลื่อนที่ณ ช่องจราจรด้านขวาของสะพาน และสะพานไม่มีความชุขระ	109
ตารางที่ 6.8 ค่า Impact Factor ของน้ำหนัก grubov ที่เก็บวัดได้และที่ทำการหายได้ กรณีเคลื่อนที่ณ ช่องจราจรด้านขวาของสะพาน และสะพานมีความชุขระเล็กน้อย	110
ตารางที่ 6.9 ผลการทดสอบการหาค่าน้ำหนัก grubov รวมถึงค่าความคลาดเคลื่อนทางสถิติ กรณีเคลื่อนที่บนสะพานต่อเนื่องซึ่งมีค่า Continuity index เท่ากับ 0.8	119
ตารางที่ 6.10 ผลการทดสอบการหาค่าน้ำหนัก grubov รวมถึงค่าความคลาดเคลื่อนทางสถิติ กรณีเคลื่อนที่บนสะพานต่อเนื่องซึ่งมีค่า Continuity index เท่ากับ 0.7	120
ตารางที่ 6.11 อิทธิพลของค่าปรับเทียบของสะพานต่อเนื่องที่มีต่อความถูกต้องในการหาน้ำหนัก	121
ตารางที่ 6.12 ผลการทดสอบการหาค่าน้ำหนัก grubov กรณีเคลื่อนที่ณ ตำแหน่งกึ่งกลางสะพาน และสะพานไม่มีความชุขระ และสมมติให้รับน้ำหนัก grubov ที่ตัวยึดความเร็วคงที่	124
ตารางที่ 6.13 ผลการทดสอบการหาค่าน้ำหนัก grubov แบบ 3 เพลา กรณีเคลื่อนที่บนสะพานซึ่งเดียว และสะพานไม่มีความชุขระ	129
ตารางที่ 6.14 ผลผลการทดสอบการหาค่าน้ำหนัก grubov แบบ 3 เพลา กรณีเคลื่อนที่บนสะพานซึ่งเดียว และพื้นผิวสะพานมีความชุขระเล็กน้อย	130

สารบัญตาราง

๒

บทที่

หน้า

ตารางที่ 6.15 ผลผลการทดสอบการหาหน้าหนักแบบ 3 เพลิด้วยการทายหน้าหนักแบบ 2 ตัวแปร
กรณีเคลื่อนที่บนสะพานช่วงเดียว และสะพานไม่มีความชุนช่วง..... 132

สารบัญภาพ

	หน้า
รูปที่ 2.1 ลักษณะโครงสร้างสะพานที่รับแรงกระทำแบบจุด	10
รูปที่ 2.2 แบบจำลองคานของอยเลอร์-เบอร์นูลี	11
รูปที่ 2.3 แบบจำลองขั้นส่วนของคาน	11
รูปที่ 2.4 แสดงแรงที่ขึ้นเนื่องจากแรงภายนอกที่มากกระทำ	15
รูปที่ 2.5 ขั้นตอนการหาหน้าหักเมื่อต้นก่อนการคำนวณขึ้น	29
รูปที่ 2.6 ขั้นตอนการหาแรงทางสถิตจากการเฉลี่ยแรงทางพลศาสตร์ที่คำนวณได้	30
รูปที่ 2.7 ลักษณะสะพานแบบช่วงเดียว	32
รูปที่ 2.8 แบบจำลองคานสำหรับสะพานช่วงเดียว	32
รูปที่ 2.9 ลักษณะสะพานแบบหลายช่วง	32
รูปที่ 2.10 แบบจำลองคานสำหรับสะพานหลายช่วง	33
รูปที่ 2.11 ตัวอย่างขั้นส่วนคานที่เลือกให้ในการวิเคราะห์เพื่อหน้าหักรถ	33
รูปที่ 2.12 ขั้นส่วนคานที่มีจุดรองรับข้างหนึ่งเป็นข้อหมุนสปริง	34
รูปที่ 2.13 รูปแบบการแบ่งเอลิเมนต์ของแบบจำลองสะพาน	34
รูปที่ 3.1 โนเมนต์ดัดในแต่ละหน้าตัด (section) กรณีระบบราชุกเคลื่อนที่ด้วยความเร็วเท่ากัน 0.51 เมตร/วินาที	36
รูปที่ 3.2 โนเมนต์ดัดในแต่ละหน้าตัด (section) กรณีระบบราชุกเคลื่อนที่ด้วยความเร็วเท่ากัน 0.32 เมตร/วินาที	37
รูปที่ 3.3 แสดงค่าแรงของรากขณะวิ่งบนสะพาน เมื่อไม่มีการเรกูลาร์ไวเซชัน (regularization) กรณีระบบราชุกเคลื่อนที่ด้วยความเร็วเท่ากับ 0.51 เมตร/วินาที	38
รูปที่ 3.4 แสดงค่าแรงของรากขณะวิ่งบนสะพาน เมื่อเรกูลาร์ไวเซชัน (regularization) ด้วยค่า $\lambda = 0.1$ กรณีระบบราชุกเคลื่อนที่ด้วยความเร็วเท่ากับ 0.51 เมตร/วินาที	39
รูปที่ 3.5 แสดงค่าความคลาดเคลื่อนของน้ำหนักร่วมที่เปลี่ยนแปลงตามค่าเรกูลาร์ไวเซชันพารามิเตอร์ (regularization parameter, λ) กรณีระบบราชุกเคลื่อนที่ด้วยความเร็วเท่ากับ 0.51 เมตร/วินาที	40
รูปที่ 3.6 แสดงค่าแรงของรากขณะวิ่งบนสะพาน เมื่อเรกูลาร์ไวเซชัน (regularization) ด้วยค่า $\lambda = 0.1$ กรณีระบบราชุกเคลื่อนที่ด้วยความเร็วเท่ากับ 0.51 เมตร/วินาที	41
รูปที่ 3.7 แสดงค่าความคลาดเคลื่อนของน้ำหนักร่วมที่เปลี่ยนแปลงตามค่าเรกูลาร์ไวเซชันพารามิเตอร์ (regularization parameter, λ) กรณีระบบราชุกเคลื่อนที่ด้วยความเร็วเท่ากับ 0.51 เมตร/วินาที	41
รูปที่ 3.8 แสดงค่าความคลาดเคลื่อนของน้ำหนักร่วมที่เปลี่ยนแปลงตามค่าเรกูลาร์ไวเซชันพารามิเตอร์ (regularization parameter, λ) กรณีระบบราชุกเคลื่อนที่ด้วยความเร็วเท่ากับ 0.32 เมตร/วินาที	42
รูปที่ 3.9 แสดงผลของความคลาดเคลื่อนทางสถิตของน้ำหนักร่วมที่มวลของรถแตกต่างกัน โดยใช้ทรรศ ซิงกูลาร์แอลกูดิคอมโพซิชัน (Singular Value Decomposition)	43

หน้า

รูปที่ 3.10 แสดงผลของความคลาดเคลื่อนทางสถิติของน้ำหนักรวมที่มวลของรถแตกต่างกัน โดยใช้วิธี ไดนามิกโปรแกรมมิ่ง (Dynamic Programming)	44
รูปที่ 3.11 แสดงผลของความคลาดเคลื่อนทางสถิติของน้ำหนักรวมที่ความเร็วของรถแตกต่างกัน โดยใช้ วิธีซิงค์วัลร์แอลดีคอมโพซิชัน (Singular Value Decomposition)	45
รูปที่ 3.12 แสดงผลของความคลาดเคลื่อนทางสถิติของน้ำหนักรวมที่ความเร็วของรถแตกต่างกัน โดยใช้ วิธีไดนามิกโปรแกรมมิ่ง (Dynamic Programming)	45
รูปที่ 3.13 แสดงค่าแรงของเพลาหน้าที่หาได้โดยใช้เทคนิคการคำนวนช้า โดยใช้ $\lambda = 0.1$	46
รูปที่ 3.14 แสดงค่าแรงของเพลาหลังที่หาได้โดยใช้เทคนิคการคำนวนช้า โดยใช้ $\lambda = 0.1$	47
รูปที่ 3.15 แสดงค่าแรงรวมของรถที่หาได้โดยใช้เทคนิคการคำนวนช้า โดยใช้ $\lambda = 0.1$	47
รูปที่ 3.16 แสดงผลของความคลาดเคลื่อนทางสถิติของน้ำหนักรวมที่มวลของรถแตกต่างกัน โดยใช้วิธี ไดนามิกโปรแกรมมิ่งแบบธรรมด้า และวิธีไดนามิกโปรแกรมมิ่งร่วมกับเทคนิคการคำนวนช้า	48
รูปที่ 3.17 แสดงผลของความคลาดเคลื่อนทางสถิติของน้ำหนักรวมที่ความเร็วของรถแตกต่างกัน โดยใช้วิธี ไดนามิกโปรแกรมมิ่งแบบธรรมด้า และวิธีไดนามิกโปรแกรมมิ่งร่วมกับเทคนิคการคำนวนช้า	48
รูปที่ 3.18 แสดงจำนวนรอบของการคำนวนช้าที่ใช้ที่ค่าพารามิเตอร์ λ แตกต่างกัน	49
รูปที่ 4.1 ลักษณะและขนาดของรถบรรทุกจริง	50
รูปที่ 4.2 ลักษณะน้ำหนักกระทำแบบจุดบนสะพาน	51
รูปที่ 4.3 แบบจำลองย่อส่วนสะพานช่วงเดียว	51
รูปที่ 4.4 รูปแบบของแบบจำลองสะพานหลายช่วง	52
รูปที่ 4.5 แบบจำลองย่อส่วนสะพานหลายช่วง กรณีจุดรองรับมีสติฟเนสส์อย (Continuity index = 0.79)	54
รูปที่ 4.6 แบบจำลองย่อส่วนสะพานหลายช่วง กรณีจุดรองรับมีสติฟเนสส์มาก (Continuity index = 0.69)	54
รูปที่ 4.7 อุปกรณ์วัดแรงทางพลศาสตร์ที่เพลารถ (Dynamics Axle Force Detector)	55
รูปที่ 4.8 แบบจำลองย่อส่วนรถบรรทุกแบบ 2 เพลา	56
รูปที่ 4.9 แบบจำลองย่อส่วนรถบรรทุกแบบ 3 เพลา	57
รูปที่ 4.10 ขนาดของแบบจำลองย่อส่วนของรถบรรทุก	57
รูปที่ 4.11 ขั้นตอนการติดตั้งเกจวัดความเครียด	58
รูปที่ 4.12 ก ตำแหน่งในการติดตั้งเกจวัดความเครียดให้สะพาน	59
รูปที่ 4.12 ข ตำแหน่งในการติดตั้งเกจวัดความเครียดให้สะพาน	59
รูปที่ 4.13 ลักษณะของกล่องบริจจ์คอมพเล็กซ์	60
รูปที่ 4.14 ลักษณะของคาดตัวล็อกเกอร์	60
รูปที่ 4.15 ตัวเซนเซอร์วัดตำแหน่ง	61
รูปที่ 4.16 แบบขาว-ดำ ความกว้าง 0.5 ซม.	61
รูปที่ 4.17 สัญญาณที่ตัวเซนเซอร์เก็บข้อมูล	62

	หน้า
รูปที่ 4.18 การติดตั้งเซนเซอร์วัดตำแหน่งและແບບขาว-ดำ กับแบบจำลองสะพาน.....	62
รูปที่ 4.19ก ขนาดและรูปร่างของห้องไม้ 3 รูปแบบที่นำมาใช้ทำพื้นผิวชุขะของแบบจำลองสะพาน.....	64
รูปที่ 4.19ข พื้นผิวความชุขะทั้ง 3 ระดับที่จะนำไปติดตั้งบนแบบจำลองสะพาน.....	65
รูปที่ 4.20 ระบบการเคลื่อนที่ของรถบรรทุก 2 เพลานบนสะพานช่วงเดียวที่มีจุดรองรับแบบข้อหมุนธรรมชาติ.....	67
รูปที่ 4.21 ระบบการเคลื่อนที่ของรถบรรทุก 2 เพลานบนสะพานต่อเนื่อง	68
รูปที่ 4.22 ระบบการเคลื่อนที่ของรถบรรทุก 3 เพลานบนสะพานช่วงเดียวที่มีจุดรองรับแบบข้อหมุนธรรมชาติ.....	70
รูปที่ 5.1 ลักษณะการให้แรงกระทำทางสถิตสำหรับการปรับเทียบแบบจำลองรถบรรทุก.....	72
รูปที่ 5.2 ลักษณะสัญญาณความเครียดที่เก็บวัดได้จากการปรับเทียบด้วยแรงกระทำทางสถิต	73
รูปที่ 5.3 ตัวอย่างกราฟและฟังก์ชันสำหรับใช้ปรับเทียบเพื่อหาค่าแรงทางพลศาสตร์ในล้อหมายเลขอ 1 ..	73
รูปที่ 5.4 ลักษณะของค่าแรงในเพลารถที่เก็บวัดได้จากการวิ่งรถด้วยความเร็วต่ำ	75
รูปที่ 5.5 ค่าโนเมนต์ที่ตำแหน่ง L/3 ของสะพานก่อนทำการปรับแก้	75
รูปที่ 5.6 ค่าโนเมนต์ที่ตำแหน่ง L/2 ของสะพานก่อนทำการปรับแก้	76
รูปที่ 5.7 ค่าโนเมนต์ที่ตำแหน่ง 2L/3 ของสะพานก่อนทำการปรับแก้	76
รูปที่ 5.8 น้ำหนักเพลานน้ำ, เพลานลังและน้ำหนักความของรถบรรทุกที่ท้ายได้ก่อนทำการปรับแก้	77
รูปที่ 5.9 ค่าโนเมนต์หลังจากปรับแก้ที่ตำแหน่ง L/3 ของสะพาน	78
รูปที่ 5.10 ค่าโนเมนต์หลังจากปรับแก้ที่ตำแหน่ง L/2 ของสะพาน	78
รูปที่ 5.11 ค่าโนเมนต์หลังจากปรับแก้ที่ตำแหน่ง 2L/3 ของสะพาน	79
รูปที่ 5.12 น้ำหนักเพลานน้ำ เพลานลังและน้ำหนักความของรถบรรทุกทางพลศาสตร์หลังจากทำการปรับแก้	79
รูปที่ 5.13 ค่าโนเมนต์ของน้ำตัดสะพานหลังจากปรับแก้ กรณีสะพานมีค่า Continuity index เท่ากับ 0.8	81
รูปที่ 5.14 ค่าโนเมนต์ของน้ำตัดสะพานหลังจากปรับแก้ กรณีสะพานมีค่า Continuity index เท่ากับ 0.7	81
รูปที่ 5.15 ตัวอย่างสัญญาณการสั่นไหวแบบอิสระ	82
รูปที่ 5.16 สัญญาณนบวนโดยเมนของความถี่ (frequency domain)	82
รูปที่ 5.17 ลักษณะสัญญาณของแรงทางพลศาสตร์ในเพลารถที่เก็บวัดได้จาก Dynamics Axle Force Detector	84
รูปที่ 5.18 ฟ้าสฟูเรียร์กรานสฟอร์ม (FFT) ของความถี่ของที่มีสัญญาณรบกวน	84
รูปที่ 5.19 ลักษณะสัญญาณที่ทำการกรองข้อมูลและการกรองสัญญาณรบกวน	85
รูปที่ 6.1 ลักษณะของโนเมนต์ตัดของสะพานที่ให้ผลการทายน้ำหนักมีความคลาดเคลื่อนต่ำ (ผลการทดสอบ ครั้งที่ 3 กรณีรถบรรทุกน้ำ 30 Kg เคลื่อนที่ด้วยความเร็วต่ำ)	87
รูปที่ 6.2 ลักษณะของโนเมนต์ตัดของสะพานที่ให้ผลการทายน้ำหนักมีความคลาดเคลื่อนสูง (ผลการทดสอบ ครั้งที่ 5 กรณีรถบรรทุกน้ำ 20 Kg เคลื่อนที่ด้วยความเร็วปานกลาง)	88
รูปที่ 6.3 กราฟแสดงผลต่างของน้ำหนักรถบรรทุกที่ท้ายได้กับน้ำหนักที่วัดได้จริง กรณีทดสอบด้วยน้ำหนักรถบรรทุกจำลองที่แตกต่างกันเคลื่อนที่ด้วยความเร็วต่ำจำนวน 15 การทดสอบ	90
รูปที่ 6.4 ลักษณะของโนเมนต์ตัดของสะพาน เมื่อรถบรรทุกเคลื่อนที่ผ่านด้วยความเร็วต่ำ	91

สารบัญภาพ (ต่อ)

๘

	หน้า
รูปที่ 6.5 ลักษณะของโนเมนต์ดัดของสะพาน เมื่อ/run/ruthuk เคลื่อนที่ผ่านด้วยความเร็วปานกลาง.....	91
รูปที่ 6.6 ลักษณะของโนเมนต์ดัดของสะพาน เมื่อ/run/ruthuk เคลื่อนที่ผ่านด้วยความเร็วสูง.....	92
รูปที่ 6.7 เปรียบเทียบลักษณะสัญญาณความเครียดที่หน้าตัดสะพาน L/3 เมื่อเพลาหลังของ/run/ruthuk ที่มีน้ำหนักร่วม 30 กก. อญี่ที่ตำแหน่งติดตั้งเกจวัดความเครียด และเคลื่อนที่ด้วยความเร็วต่ำ ณ ตำแหน่งด้านซ้าย ขวา และกึ่งกลางสะพาน	93
รูปที่ 6.8 เปรียบเทียบลักษณะสัญญาณความเครียดที่หน้าตัดสะพาน L/2 เมื่อเพลาหลังของ/run/ruthuk ที่มีน้ำหนักร่วม 30 กก. อญี่ที่ตำแหน่งติดตั้งเกจวัดความเครียด และเคลื่อนที่ด้วยความเร็วต่ำ ณ ตำแหน่งด้านซ้าย ขวา และกึ่งกลางสะพาน	94
รูปที่ 6.9 เปรียบเทียบลักษณะสัญญาณความเครียดที่หน้าตัดสะพาน 2L/3 เมื่อเพลาหลังของ/run/ruthuk ที่มีน้ำหนักร่วม 30 กก. อญี่ที่ตำแหน่งติดตั้งเกจวัดความเครียด และเคลื่อนที่ด้วยความเร็วต่ำ ณ ตำแหน่งด้านซ้าย ขวา และกึ่งกลางสะพาน	94
รูปที่ 6.10 ลักษณะสัญญาณความเครียดที่หน้าตัด L/2 เมื่อ/run/ruthuk หนัก 30 กิโลกรัม เคลื่อนที่ ณ ตำแหน่งผิ้งซ้ายของสะพานด้วยความเร็วต่ำ	95
รูปที่ 6.11 ลักษณะสัญญาณความเครียดที่หน้าตัด L/2 เมื่อ/run/ruthuk หนัก 30 กิโลกรัม เคลื่อนที่ ณ ตำแหน่งผิ้งขวาของสะพานด้วยความเร็วต่ำ	95
รูปที่ 6.12 เปรียบเทียบลักษณะโนเมนต์ดัดของหน้าตัดสะพานเมื่อ/run/ruthuk หนัก 30 กก. เคลื่อนที่ด้วย ความเร็วต่ำในตำแหน่งตามแนววางของสะพานกรณีเคลื่อนที่ในช่องจราจรด้านซ้าย ขวา และกลาง	96
รูปที่ 6.13 ลักษณะของโนเมนต์ดัดของสะพาน เมื่อ/run/ruthuk หนัก 10 กก. เคลื่อนที่ด้วยความเร็วต่ำ บนสะพานที่มีพื้นผิวชุขระเล็กน้อย	99
รูปที่ 6.14 ค่าความคลาดเคลื่อนทางพลศาสตร์ที่ระดับมวลและความเร็วของ/run/ruthuk ที่แตกต่างกัน เมื่อพื้นผิวสะพานไม่มีความชุขระ	105
รูปที่ 6.15 ค่าความคลาดเคลื่อนทางพลศาสตร์ที่ระดับมวลและความเร็วของ/run/ruthuk ที่แตกต่างกัน เมื่อพื้นผิวสะพานมีความชุขระเล็กน้อย	105
รูปที่ 6.16 ค่าความคลาดเคลื่อนทางพลศาสตร์ที่ระดับมวลและความเร็วของ/run/ruthuk ที่แตกต่างกัน เมื่อพื้นผิวสะพานมีความชุขระปานกลาง	105
รูปที่ 6.17 ค่าความคลาดเคลื่อนทางพลศาสตร์ที่ระดับมวลและความเร็วของ/run/ruthuk ที่แตกต่างกัน เมื่อพื้นผิวสะพานมีความชุขระมาก	106
รูปที่ 6.18 เปรียบเทียบลักษณะแรงที่เก็บวัดได้และทำการทายได้ เมื่อเคลื่อนที่/run/ruthuk หนัก 30 กก. ด้วยความเร็วปานกลาง ผ่านสะพานที่พื้นผิวราบรื่น	106
รูปที่ 6.19 เปรียบเทียบลักษณะแรงที่เก็บวัดได้และทำการทายได้ เมื่อเคลื่อนที่/run/ruthuk หนัก 30 กก. ด้วยความเร็วปานกลาง ผ่านสะพานที่พื้นชุขระ	107

หน้า

รูปที่ 6.20 ค่าความคลาดเคลื่อนทางพลศาสตร์ของน้ำหนักเพลาหน้า เพลาหลังและน้ำหนักรวมที่หายได้ที่ระดับค่าเรกูลาร์ไวซ์ชั่นพารามิเตอร์ (λ) ที่แตกต่างกัน	108
รูปที่ 6.21 ค่าความคลาดเคลื่อนของค่า Impact Factor น้ำหนักเพลาหน้า เพลาหลังและน้ำหนักรวมที่หายได้ที่ระดับค่าเรกูลาร์ไวซ์ชั่นพารามิเตอร์ (λ) ที่แตกต่างกัน	108
รูปที่ 6.22 ผลกระทบของค่าเริ่มต้นของผลตอบสนองของสะพานต่อค่าความคลาดเคลื่อนทางสถิติของน้ำหนักรวมของรถบรรทุก	112
รูปที่ 6.23 ลักษณะของโมเมนต์ดัดที่หน้าตัด L/2 ที่สร้างขึ้นในแต่ละรอบของการคำนวณสำหรับรถที่สัมประสิทธิ์ A มีค่าเป็น 5 เท่า	113
รูปที่ 6.24 ลักษณะสัญญาณความเครียดของหน้าตัดสะพานที่มีค่า Continuity index = 0.8 เมื่อรถบรรทุกจำลองหนัก 10 กก. เคลื่อนที่ผ่านด้วยความเร็วต่ำ	114
รูปที่ 6.25 ลักษณะสัญญาณความเครียดของหน้าตัดสะพานที่มีค่า Continuity index = 0.8 เมื่อรถบรรทุกจำลองหนัก 20 กก. เคลื่อนที่ผ่านด้วยความเร็วต่ำ	115
รูปที่ 6.26 ลักษณะสัญญาณความเครียดของหน้าตัดสะพานที่มีค่า Continuity index = 0.8 เมื่อรถบรรทุกจำลองหนัก 30 กก. เคลื่อนที่ผ่านด้วยความเร็วต่ำ	115
รูปที่ 6.27 ลักษณะสัญญาณความเครียดของหน้าตัดสะพานที่มีค่า Continuity index = 0.7 เมื่อรถบรรทุกจำลองหนัก 10 กก. เคลื่อนที่ผ่านด้วยความเร็วต่ำ	116
รูปที่ 6.28 ลักษณะสัญญาณความเครียดของหน้าตัดสะพานที่มีค่า Continuity index = 0.7 เมื่อรถบรรทุกจำลองหนัก 20 กก. เคลื่อนที่ผ่านด้วยความเร็วต่ำ	117
รูปที่ 6.29 ลักษณะสัญญาณความเครียดของหน้าตัดสะพานที่มีค่า Continuity index = 0.7 เมื่อรถบรรทุกจำลองหนัก 30 กก. เคลื่อนที่ผ่านด้วยความเร็วต่ำ	117
รูปที่ 6.30 เปรียบเทียบผลของค่าสถิติฟเนสของข้อมูลสปอร์ตต่อค่า Continuity index ของสะพานต่อเนื่องที่มีความยาวช่วงหลักแตกต่างกัน	118
รูปที่ 6.31 ลักษณะสัญญาณความเครียดของหน้าตัดสะพานและตำแหน่งรถบรรทุกที่คลาดเคลื่อน	123
รูปที่ 6.32 แสดงตำแหน่งของรถบรรทุกและเวลา กรณีที่วัดได้จริงและที่สมมติขึ้น	123
รูปที่ 6.33 ลักษณะโมเมนต์ดัดของหน้าตัดสะพาน เมื่อรถบรรทุกแบบ 3 เพลาหนัก 10 กก. เคลื่อนที่ด้วยความเร็วสูงบนสะพานช่วงเดียวที่มีพื้นผิวราบเรียบ	125
รูปที่ 6.34 ลักษณะน้ำหนักทางพลศาสตร์ในเพลารถที่เก็บวัดได้ เมื่อรถบรรทุกแบบ 3 เพลาหนัก 10 กก. เคลื่อนที่ด้วยความเร็วสูงบนสะพานช่วงเดียวที่มีพื้นผิวราบเรียบ	126
รูปที่ 6.35 ลักษณะโมเมนต์ดัดของหน้าตัดสะพาน เมื่อรถบรรทุกแบบ 3 เพลาหนัก 10 กก. เคลื่อนที่ด้วยความเร็วสูงบนสะพานช่วงเดียวที่มีพื้นผิวขรุขระเล็กน้อย	126
รูปที่ 6.36 ลักษณะน้ำหนักทางพลศาสตร์ในเพลารถที่เก็บวัดได้ เมื่อรถบรรทุกแบบ 3 เพลาหนัก 10 กก. เคลื่อนที่ด้วยความเร็วสูงบนสะพานช่วงเดียวที่มีพื้นผิวขรุขระเล็กน้อย	127

